

## آزمایشگاه بر روی فیبر نوری نوک مقعر مبتنی بر تشدید پلاسمون سطحی جایگزیده برای حسگری همزمان ضریب شکست و دما

محمد مهدی باباخانی فرد، محمد اسماعیل زیبائی\*، سروش رستمی.

پژوهشکده لیزر و پلاسما، دانشگاه شهید بهشتی، تهران، ایران.

اطلاعات مقاله

چکیده

زیست حسگرهای فیبرنوری به دلیل حساسیت بسیار بالا و قابلیت شناسایی تغییرات کوچک در نمونه‌های زیستی، ابزاری مؤثر برای تشخیص زود هنگام بیماری‌ها محسوب می‌شوند. حسگرهای غیرنشان‌دار مبتنی بر اندازه‌گیری تغییرات ضریب شکست، با ادغام فناوری پلاسمون سطحی جایگزیده عملکرد بسیار بهتری از نظر حساسیت و انتخاب پذیری به دست می‌آورند. در این مقاله حسگر فیبرنوری LSPR دوگانه مبتنی بر ساختار نوک مقعر با استفاده از نانو ذرات ترکیبی از نانو ذرات طلا و نانو ذرات هسته@پوسته طلا@نقره برای اندازه‌گیری ضریب شکست و دما توسعه داده شده است. حساسیت ضریب شکستی حسگر مبتنی بر نانو ذرات طلا و هسته/پوسته در بازه ضریب شکستی RIU  $1/3604$  -  $1/3332$  به ترتیب برابر با  $1845/71$  nm/RIU و  $1984/58$  nm/RIU بدست آمده است. همچنین حساسیت ضریب شکستی مربوط به حالت LSPR نانوذرات طلا و هسته/پوسته در مبدل پیشنهادی عامل‌دار شده به نانوذرات ترکیبی، بترتیب  $1567/67$  nm/RIU و  $1787/73$  nm/RIU ارزیابی شده است. کاهش حساسیت ضریب شکستی نسبت به ساختار یگانه نانو ذرات بدلیل کاهش چگالی سطحی هر یک از نانو ذرات است که قابل چشم‌پوشی می‌باشد. یکی از چالش‌های مهم در عملکرد دقیق حسگرهای فیبرنوری، تأثیر تغییرات دمایی بر نتایج اندازه‌گیری است. حساسیت دمایی LSPR دوگانه در بازه دمایی  $20^{\circ}\text{C}$  -  $50^{\circ}\text{C}$ ، برای نانو ذرات طلا و هسته/پوسته بترتیب  $S_{Au} = -1.2 \frac{\text{nm}}{^{\circ}\text{C}}$  و  $S_{CS} = -1.32 \frac{\text{nm}}{^{\circ}\text{C}}$  بدست آمده است. برای کاهش حساسیت متقابل، از ماتریس حساسیت استفاده شده است که امکان اندازه‌گیری همزمان دقیق ضریب شکست و دما را فراهم می‌کند. نتایج بدست آمده نشان می‌دهد حسگر توسعه یافته بعنوان آزمایشگاه بر روی نوک فیبرنوری کاندیدای بسیار مناسبی برای پایش‌های دوگانه کاربردهای زیست حسگرهای فیبرنوری غیرنشان‌دار است. **واژگان کلیدی:** آزمایشگاه بر روی نوک فیبر نوری، غیرنشان‌دار، ضریب شکست، دما، تشدید پلاسمون سطحی جایگزیده، نانو ذرات هسته/پوسته.

تاریخ دریافت: ۱۴۰۴/۸/۳

تاریخ پذیرش: ۱۴۰۴/۹/۶

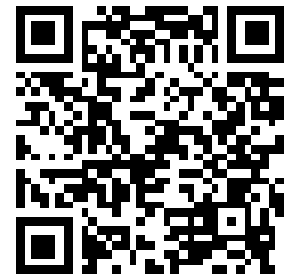
تاریخ چاپ: ۱۴۰۴/۹/۱۱

شاپای چاپی: 2588-493x

شاپای الکترونیکی: 2588-4921

\* نویسنده مسئول

[m\\_zibaye@sbu.ac.ir](mailto:m_zibaye@sbu.ac.ir)



## مقدمه

امروزه تشخیص زودهنگام و درمان مدرن برپایه غلظت سنجی المان‌های زیستی و آشکارسازی ویروس‌ها و باکتری‌های بیماری‌زا در بدن انسان از جایگاه ویژه‌ای برخوردار هستند [۱-۳]. روش‌های متداول حسگری شامل فلورسانس، رنگ‌سنجی، طیف‌سنجی جذبی و الکتروشیمیایی بدلیل حساسیت و دقت پایین، زمان تشخیص بالا، عدم مقرون بصرنگی و پیچیدگی و زمان‌بر بودن روند حسگری، کارآمدی لازم برای پایش در لحظه سطوح مؤلفه‌های زیستی را ندارند [۳، ۴]. این در حالی است که روش حسگری بدون برچسب‌زنی با کنار گذاشتن برچسب‌زنی رنگدانه‌های فلئوروفوری و رادیواکتیو که ماهیت زیستی مولکول‌های هدف را دستخوش تغییر قرار می‌دهند، با اتکا به شناسایی تغییرات ضریب شکست مربوط به تغییرات غلظت نمونه، چالش‌ها و معایب روش‌های زیست‌حسگری اسبق را رفع کرده و بنابراین گزینه مناسبی برای حسگری غیرنشان‌دار لحظه‌ای زیستی با حساسیت و دقت بسیار بالا هستند [۴].

حسگرهای فیبرنوری به‌عنوان یکی از پیشرفته‌ترین فناوری‌های اندازه‌گیری در علوم زیستی و پزشکی، به دلیل ویژگی‌هایی مانند کوچکی ابعاد، حساسیت بالا، ایمنی الکتریکی، عدم تداخل الکترومغناطیسی، سازگاری زیستی و توانایی عملکرد در محیط‌های پیچیده فیزیولوژیکی، نقش مهمی را در توسعه سیستم‌های پایش دقیق و بلادرنگ ایفا می‌کنند. آزمایشگاه بر روی نوک فیبرنوری که یکی از انواع منحصر بفرد زیست‌حسگرهای فیبرنوری می‌باشد، بخاطر این‌که ناحیه حسگری آن بر روی نوک مبدل فیبر نوری است و عملیات حسگری خود را بر اساس سیگنال‌های بازتابی انجام می‌دهد و از این بابت حسگری درون‌کاشتی را محقق می‌سازد، سرآمد سایر زیست‌حسگرهای فیبرنوری است که پایش لحظه‌ای غلظت مؤلفه‌های زیستی در بدن و همچنین دمای بیولوژیکی بدن را تحقق می‌بخشد [۳-۵].

توسعه فناوری نانو، راه را برای افزایش حساسیت، انتخاب‌پذیری و کارایی حسگرهای فیبرنوری هموار کرده است. نانومواد با ویژگی‌های

فیزیکی و شیمیایی منحصر به فرد خود، از جمله نسبت سطح به حجم بالا، خواص الکترونی و نوری قابل تنظیم، و قابلیت عملکرد سطحی بالا، نقش کلیدی را در بهبود عملکرد حسگرهای نوری ایفا می‌کنند.

حسگرهای فیبرنوری مبتنی بر پلاسمون سطحی جایگزیده (LSPR) با استفاده از نانوذرات فلزی مانند طلا یا نقره، امکان تشخیص سریع، دقیق و حساس نمونه‌های زیستی و شیمیایی را فراهم می‌کنند. در این حسگرها، نوسان الکترون‌ها در سطح نانوذرات با نور ورودی برهم‌کنش کرده و پدیده‌ی LSPR را ایجاد می‌کند که نسبت به تغییرات ضریب شکست محیط اطراف بسیار حساس است. این حسگرها به دلیل ابعاد کوچک، عدم نیاز به تجهیزات نوری پیچیده و قابلیت عملکرد غیرنشان‌دار و بلادرنگ، برای کاربردهایی مانند تشخیص بیماری‌ها و پایش زیستی بسیار مناسب‌اند [۳، ۶-۷].

اهمیت پایش آنی سطوح مؤلفه‌های زیستی و همچنین دمای زیستی بدن انسان موجب شد که در این مقاله به گزارش ساخت سه آزمایشگاه بر روی نوک فیبرنوری که بترتیب عامل‌دار به نانوذرات طلا ( $AuNPs^1$ )، هسته@پوسته طلا@نقره ( $CSNPs^2$ ) و ساختار ترکیبی  $AuNPs$  و  $CSNPs$  شده‌اند پرداخته شود که طرحواره آن‌ها در شکل (۱) نشان داده شده است. لازم‌بذکر است که پس از ارزیابی پاسخدهی ضریب‌شکستی هر یک زیست‌حسگرهای اشاره شده، حساسیت دمایی دو قعر تشدیدی طیفی آزمایشگاه بر روی نوک فیبر نوری پیشنهادی که عامل‌دار به  $AuNPs$  و  $CSNPs$  شده بود مورد سنجش قرار گرفت و پس از تشکیل ماتریس مشخصه، حسگری همزمان ضریب‌شکستی و دمایی تحقق پیدا کرد.

<sup>2</sup> Core@Shell nanoparticles (CSNPs)

<sup>1</sup> Au nanoparticles (Au NPs)

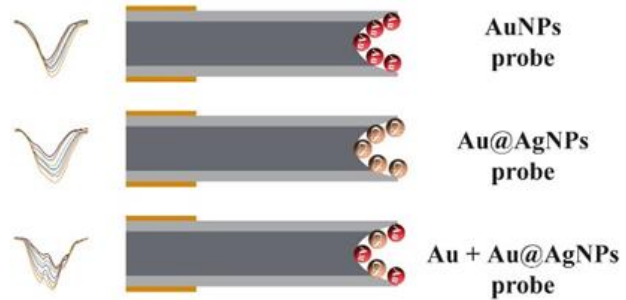
در این حالت تطبیق فازی، حالت نوری هسته که با تمرکز بسیار بالایی در هسته فیبر نوری محبوس و طی پدیده بازتاب داخلی کلی هدایت می‌شود، از هسته فیبرنوری محو شده و تبدیل به حالت LSPR می‌شود و بخاطر همین، اتلاف نوری مبدل در طول موج تشدیدی  $\lambda_{res}$  تطابق فازی، بیشینه است [۶, ۳]. فورمول‌های  $\beta_{LSPW}$  و  $\beta_{core}$  در روابط (۱) و (۲) آورده شده‌اند [۳].

همان‌طور که در رابطه (۲) مشهود است،  $\beta_{LSPW}$  وابسته به ضریب شکست محیط حسگری  $n_{ext}$  است که با تغییرات غلظت نمونه،  $\beta_{LSPW}$  دستخوش تغییر قرار گرفته و  $\lambda_{res}$  تطابق فازی جابه‌جا می‌شود که این پدیده اساس حسگری حسگرهای فوتونیک مبتنی بر LSPR است [۶, ۳]. لازم بذکر است که تغییرات دما نیز با تحت تاثیر قرار دادن ضریب شکست نمونه،  $\lambda_{res}$  حالت LSPR مبدل حسگری را جابه‌جا می‌کند، پس بنابراین مبدل‌های فیبرنوری مبتنی بر LSPR، گزینه مناسبی برای پایش لحظه‌ای دمای نمونه‌های زیستی نیز هستند.

## ۲- طراحی و ساخت

### ۲-۱ شبیه‌سازی و ساخت مبدل

فیبر نوری چندمدی با هسته سیلیکایی آلاینده به ژرمانیوم و با جنس غلاف سیلیکای خالص، وقتی در معرض خوردگی اسیدی با اسید هیدروفلوئوریک ( $\text{HF}^3$ ) قرار می‌گیرد بدلیل بالا بودن نرخ خوردگی هسته نسبت به غلاف فیبر نوری یک میکرو لنز مقعر در نوک فیبر نوری ایجاد می‌شود. این ساختار موجب تمرکز نور در ناحیه نوک فیبر شده و برانگیزش پلاسمون سطحی ناشی از نانو ذرات فلزی را تقویت می‌کند، که به نوبه خود برهمکنش نور-ماده بالایی را برای کاربردهای زیست حسگری فراهم می‌آورد. برای این منظور نوک فیبرنوری برای مدت ۵ دقیقه در ۴۰٪ HF قرار داده شده، سپس سریعاً با آب دیونیزه شستشو داده می‌شود و در دمای اتاق خشک



شکل ۱: طرحواره مبدل‌های فیبرنوری نوک مقعر عامل‌دار شده به نانو ذرات AuNPs و CSNPs بمنظور حسگری ضریب شکستی و دما بصورت همزمان.

### ۱- تئوری عملکرد حسگری

حالت LSPR مبدل فیبر نوری در واقع نوسانات تشدید شده ابرالکترونی نانو ذرات فلزی تثبیت شده بر فیبرنوری است که برهمکنش بسیار بالایی با مولکول‌های حسگری دارد، مخصوصاً این-که میدان این حالت فوتونیک در بین نانو ذرات فلزی بدام افتاده و اثر نقطه داغ بوقوع پیوسته شود [۶, ۳]. بر اساس تئوری تزویج حالتی، تحریک حالت LSPR هنگامی رخ می‌دهد که ثابت انتشار حالت هسته ( $\beta_{core}$ ) که میدان میراثونده آن به نانو ذرات نفوذ پیدا کرده است، برابر با ثابت انتشار موج منفصل پلاسمون سطحی جایگزیده ( $\beta_{LSPW}$ ) نانو ذرات تثبیت شده شود که مطابق رابطه‌های (۱) و (۲) بیان می‌شود:

$$\beta_{core} = \frac{2\pi}{\lambda} \times n_c \times \sin \theta_g = \frac{2\pi}{\lambda} \times n_{eff}^{core} \quad (1)$$

$$\beta_{LSPW} = \frac{2\pi}{\lambda} \times \sqrt{\frac{\epsilon_m \times n_{ext}^2}{\epsilon_m + n_{ext}^2}} = \frac{2\pi}{\lambda} \times n_{eff}^{LSPW} \quad (2)$$

که  $\lambda$ ،  $n_c$  و  $\theta_g$  بترتیب طول موج فضای آزاد، ضریب شکست هسته فیبرنوری و زاویه هدایت حالت هسته بوده و همچنین  $\epsilon_m$  و  $n_{ext}$  بترتیب گذردهی الکتریکی نانو ذرات فلزی و ضریب شکست محیط اطراف نانو ذرات هستند که  $n_{eff}^{LSPW}$  و  $n_{eff}^{core}$  نیز بترتیب ضرایب شکست مؤثر حالت هسته و حالت موج منفصل پلاسمون سطحی جایگزیده می‌باشند.

<sup>3</sup> Hydrofluoric

پراکندگی دست کم از مرتبه  $\frac{\lambda}{10}$  هستند، بیشینه اندازه شبکه-بندی ساختار مبدل به اندازه  $\frac{\lambda}{10}$  در نظر گرفته شد [۸]. همچنین با توجه به این که جنس هسته و پوشش فیبر نوری مورد استفاده بترتیب از جنس سیلیکای آلاینده به ژرمانیوم و سیلیکای خالص بود، ضرایب شکست هسته و پوشش مبدل فیبرنوری نوک مقعر پیشنهادی بر اساس روابط سلمایر (۳) و (۴) تنظیم شد [۹].

$$n_{\text{core}}(\lambda) = \left(1 + \frac{(0.7028554)\lambda^2}{\lambda^2 - (0.0727723[\mu\text{m}])^2} + \frac{(0.4146307)\lambda^2}{\lambda^2 - (0.1143085[\mu\text{m}])^2} + \frac{(0.8974540)\lambda^2}{\lambda^2 - (9.896161[\mu\text{m}])^2}\right)^{1/2} \quad (3)$$

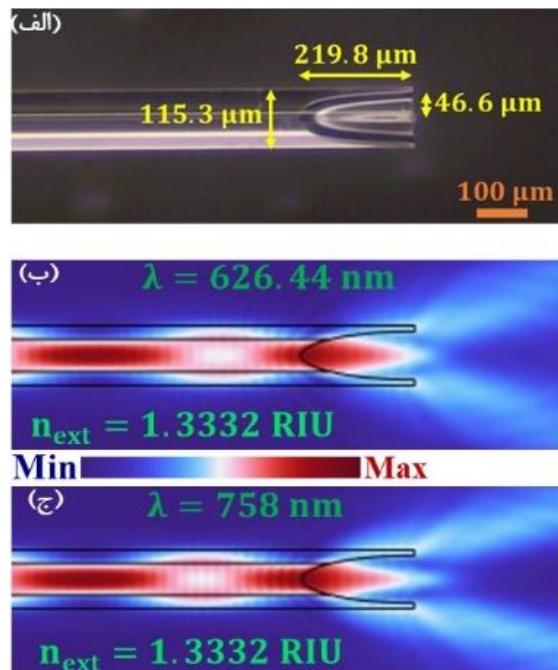
$$n_{\text{clad}}(\lambda) = \left(1 + \frac{(0.6961663)\lambda^2}{\lambda^2 - (0.0684043[\mu\text{m}])^2} + \frac{(0.4079426)\lambda^2}{\lambda^2 - (0.1162414[\mu\text{m}])^2} + \frac{(0.8974794)\lambda^2}{\lambda^2 - (9.896161[\mu\text{m}])^2}\right)^{1/2} \quad (4)$$

## ۲-۲ سنتز و مشخصه‌یابی نانوذرات

حالت LSPR آزمایشگاه بر روی فیبر نوری نوک مقعر پیشنهادی مبتنی بر Au NPs و CSNPs بوده است که بترتیب بر اساس روش کاهش مبتنی بر سدیم سیترات و اسکوربیک اسید سنتز شدند [۱۰-۱۱].

برای سنتز AuNPs در ابتدا مقدار ۱ میلی‌مولار HAuCl<sub>4</sub> و مقدار ۴۹/۵ میلی‌لیتر آب در حمام آب داغ در دمای ۱۰۰ °C همزده می‌شود و در حین همزدن مقدار ۰/۵ میلی‌لیتر محلول سدیم سیترات ۳۸/۸ میلی‌مولار به آن اضافه شده و محلول ترکیبی بمدت ۲۰ دقیقه همزده می‌شود تا برنگ قرمز سرکه‌ای درآید. پس از آنکه محلول محتوی AuNPs در دمای اتاق سرد شده و در دمای ۴°C نگهداری می‌شود [۱۰]. آنالیز DLS<sup>۷</sup> مطابق شکل (۳. الف)، نتایج بدست آمده نشان می‌دهد که میانگین اندازه AuNPs کروی سنتز شده تقریباً ۴۱/۳۶ nm است. همچنین طیف UV-Vis<sup>۸</sup> مطابق شکل

می‌شود که تصویر میکروسکوپی مبدل نوک مقعر ساخته شده در شکل (۲. الف) قابل مشاهده است.



شکل ۲: (الف) تصویر میکروسکوپی مبدل فیبرنوری نوک مقعر ساخته شده به همراه نمایه‌های میدان آن برای طول‌موج‌های تشدیدی LSPR (ب) Au NPs و (ج) CSNPs تثبیت شده.

نمایه‌های میدان شکل (۲. ب و ج) که مبتنی بر محاسبات روش المان محدود هستند، حاکی از آن است که نور خروجی مبدل فیبرنوری نوک مقعر ساخته شده، تمرکز بالایی را برای برهمکنش نور-ماده پیدا کرده است. بنابراین با تثبیت نانوذرات فلزی بر سطح نوک این مبدل می‌توان به حالت LSPR شدید برای امر زیست-حسگری دسترسی پیدا کرد.

شبه‌سازی دوبعدی المان محدود انجام شده مبتنی بر فیزیک EWBE<sup>۴</sup> و مطالعه BMA<sup>۵</sup> بوده و تحریک حالت نوری نیز توسط درگاه عددی صورت گرفته است؛ همچنین شرایط مرزی در نظر گرفته شده SBC<sup>۶</sup> بوده است تا مرزهای در نظر گرفته شده برای موج-های نوری وارده شفاف باشد؛ نظریه‌اینکه پراکندگی غالب فیبرهای نوری، پراکندگی رایلی است و المان‌های پراکننده در این نوع

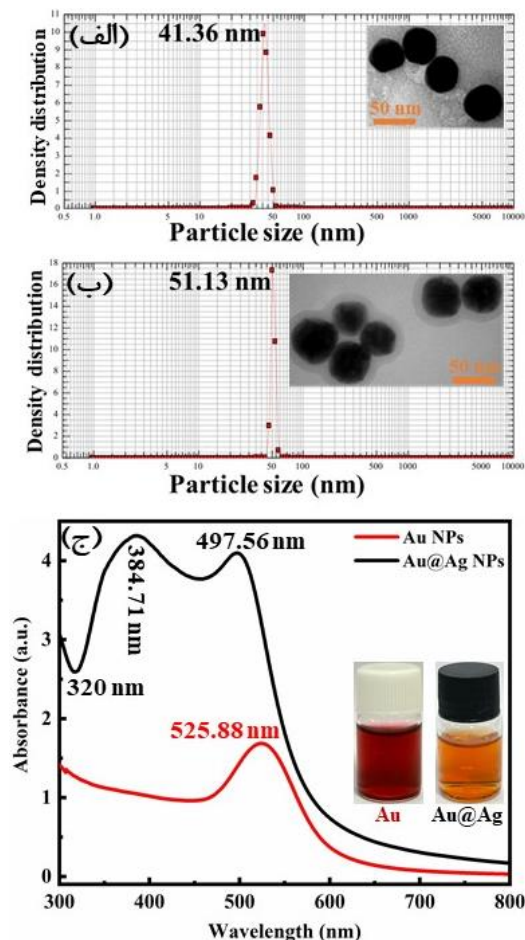
<sup>۷</sup> Dynamic light scattering

<sup>۸</sup> Ultraviolet-Visible

<sup>۴</sup> Electromagnetic waves beam envelopes

<sup>۵</sup> Boundary mode analysis

<sup>۶</sup> Scattering boundary condition



شکل ۳: آنالیزهای DLS و تصاویر TEM نانو ذرات سنتز شده الف) AuNPs، ب) CSNPs و ج) طیف‌های UV-Vis ذرات AuNPs و CSNPs.

### ۲-۳ ساخت حسگر LSPR

برای ساخت حسگر LSPR، نانو ذرات با استفاده از روش کووالانسی بر روی مبدل فیبرنوری تثبیت می‌شود. برای این منظور مطابق طرحواره شکل ۴، نوک مبدل ب مدت ۳۰ دقیقه در محلول پیرانه‌ها (ترکیب  $H_2SO_4$  و  $H_2O_2$  با نسبت ۷ به ۳ حجمی) غوطه‌ور می‌شود تا گروه عاملی هیدروکسیل بر روی سطح پراب فعال شود و پس از شستن پراب با آب دیونیزه و خشک کردن آن در آن، برای فعال سازی گروه‌های عاملی سولفیدریل (تیول) بر روی سطح فیبرنوری، پراب عامل‌دار به هیدروکسیل ب مدت ۱۲ ساعت در محلول  $MPTMS^9$  ۲٪ غوطه‌ور و پس از شستشو و خشک شدن آن، مبدل در

۳. ج)، بیشینه جذب AuNPs سنتز شده در طول موج ۴۱.۳۶ nm اتفاق می‌افتد.

برای سنتز CSNPs مقدار ۱۰ میلی لیتر AuNPs، ۱۵ میکرولیتر محلول  $AgNO_3$  ۲۵۳ میلی مولار، ۶۰ میکرولیتر محلول اسکوربیک اسید ۲۵۳ میلی مولار و ۷۷ میکرولیتر محلول NaOH ۲۵۳ میلی مولار در یک بشر ترکیب شده و بمدت ۳۰ دقیقه توسط همزن مغناطیسی همزده می‌شود تا محلول برنگ قهوه‌ای پررنگ تبدیل شود. سپس برای حذف عوامل اضافی محلول ب مدت ۲۰ دقیقه سانترفیوژ شده و پس از عملیات جداسازی، به محلول نانو ذرات تولید شده CSNPs مقدار ۱۰ میلی لیتر آب مقطر اضافه شده تا نانو ذرات سنتز شده پایدارتر شوند [۱۱]. طیف DLS و تصویر TEM مطابق شکل ۳. ب) نشان می‌دهد که نانو ذرات CSNPs کروی سنتز شده دارای میانگین اندازه ۵۱/۱۳ نانومتر هستند. با توجه به طیف UV-Vis شکل ۳. ج)، طول موج‌های ۴۷۹/۵۶ نانومتر و ۳۸۴/۷۱ نانومتر بترتیب مربوط به بیشینه باند جذبی LSPR هسته طلا و پوسته نقره CSNPs هستند و همچنین طول موج دره ۳۲۰ نانومتر نیز مربوط به خصوصیت ذاتی گذارات الکترونی درون باندی پوسته نقره است که مستقل از سایز و هندسه نانو ذرات می‌باشد [۳، ۱۱].

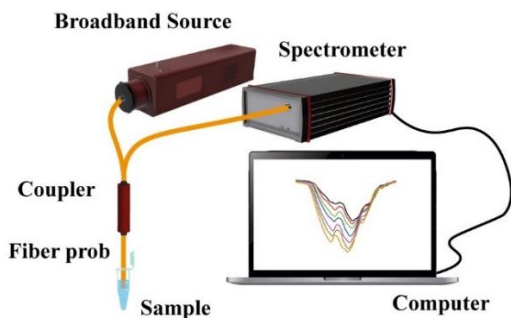
لازم بذکر است که با توجه به طیف‌های UV-Vis شکل ۳. ج)، برهمکنش دو قطبی هسته طلا و پوسته نقره CSNPs موجب شده است که بیشینه باند جذب LSPR نانو ذرات طلا از طول موج ۵۲۵/۸۸ نانومتر به ۴۹۷/۵۶ نانومتر جابه‌جا شود [۳، ۱۱]. با توجه به تصویر TEM شکل ۳. ب)، ناحیه تاریک مرکزی نانو ذرات مربوط به هسته طلا و ناحیه روشن اطراف آنها مربوط به پوسته نقره نانو ذرات CSNPs سنتز شده می‌باشد [۳، ۱۲].

<sup>9</sup> 3-mercaptopropyltrimethoxysilane

### ۳- نتایج تجربی

#### ۳-۱ چیدمان نوری حسگری

برای سنجش حساسیت و حد تشخیص ضریب شکست‌سنجی حسگر LSPR، طبق طرحواره شکل (۶)، نور یک چشمه پهن‌بند (Thorlabs, SLS201L/M) بداخل یکی از درگاه‌های کوپلر فیبرنوری  $1 \times 2$  تزویج شده و سپس وارد درگاه حسگری می‌شود و نور بازتابی از طریق درگاه سوم کوپلر فیبرنوری توسط طیف سنج نوری (Avantes, ) (Avaspec-3648) ثبت می‌شود. برای انجام فرایند سنجش حسگر LSPR در داخل محلول غوطه‌ور می‌شود. برای ارزیابی و اعتبارسنجی فرایندهای حسگری هر آزمایش به تعداد ۴ مرتبه تکرار شده تا خطای آزمایش نیز محاسبه شود. محلولهای ضریب شکستی با استفاده از محلول اتانول در بازه غلظتی ۰-۶۰٪ با محدوده ضریب شکست  $1.3604 \text{ RIU}^{12}$  - $1.3332$  تهیه شده است [۳]. تست‌های دماسنجی در بازه دمایی  $50^\circ\text{C}$  - $20^\circ\text{C}$  در دستگاه انکوباتور انجام شده است [۶].



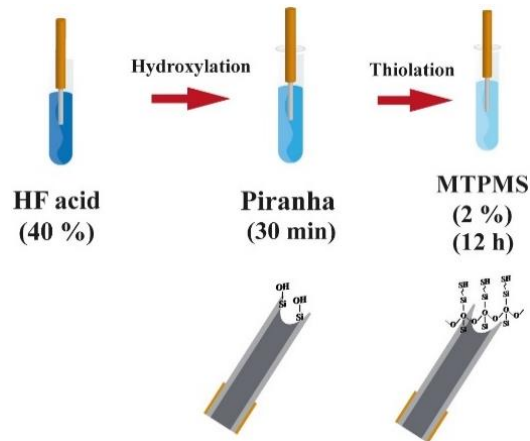
شکل ۶: طرحواره چیدمان نوری برای سنجش عملکرد حسگری.

#### ۳-۲ مشخصه‌یابی حساسیت ضریب شکست-

#### سنجی و دمائی

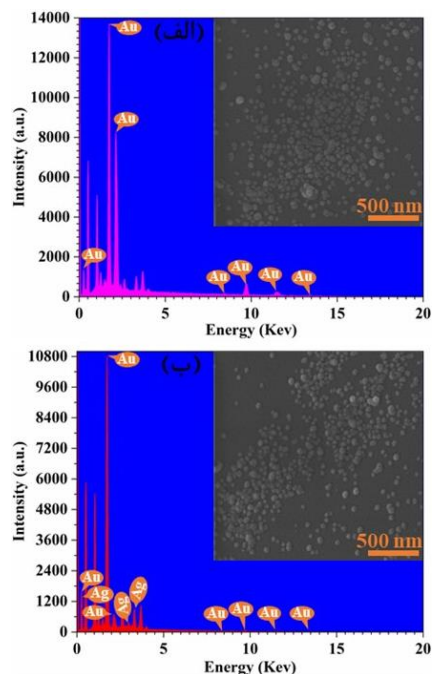
برای اندازه‌گیری حساسیت ضریب شکست‌سنجی حسگرهای مبتنی بر نانوذرات Au NPs (مبدل ۱)، CSNPs (مبدل ۲) و ساختار ترکیبی (مبدل ۳)، پاسخ حسگری در بازه

محلول‌های AuNPs، CSNPs و ترکیب نانوذرات بمدت ۱۲ ساعت غوطه‌ور شده تا نانوذرات بر روی سطح مبدل فیبرنوری تثبیت شوند [۳].



شکل ۴: طرحواره مراحل ساخت مبدل فیبرنوری نوک مقعر و فرآیند عامل‌دار کردن سطح حسگر.

طیف‌های EDS<sup>10</sup> و تصاویر FESEM<sup>11</sup> نشان داده شده در شکل‌های (۵، الف و ب)، تثبیت AuNPs و CSNPs را روی سطح مبدل فیبرنوری را تایید می‌کنند [۳، ۶].

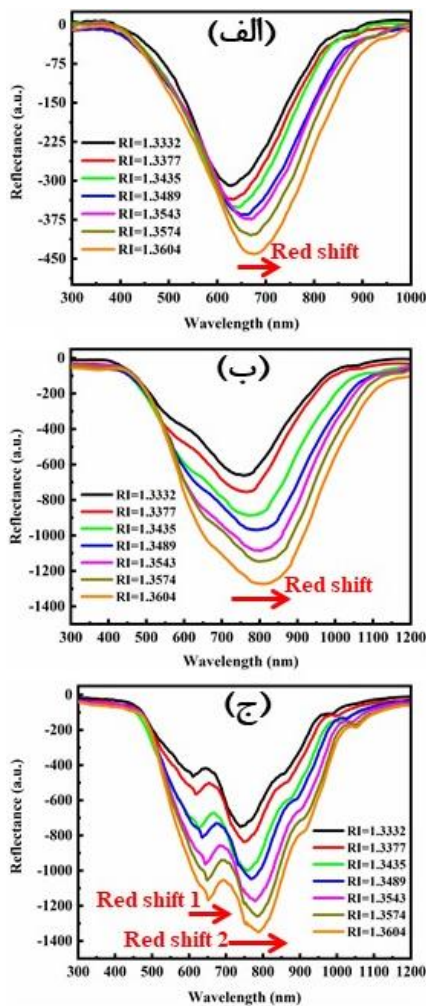


شکل ۵: آنالیزهای EDS و تصاویر FESEM مربوط به نوک پراب (الف) عامل‌دار شده به AuNPs و (ب) CSNPs.

<sup>12</sup> Refractive index unit

<sup>10</sup> energy-dispersive X-ray spectroscopy

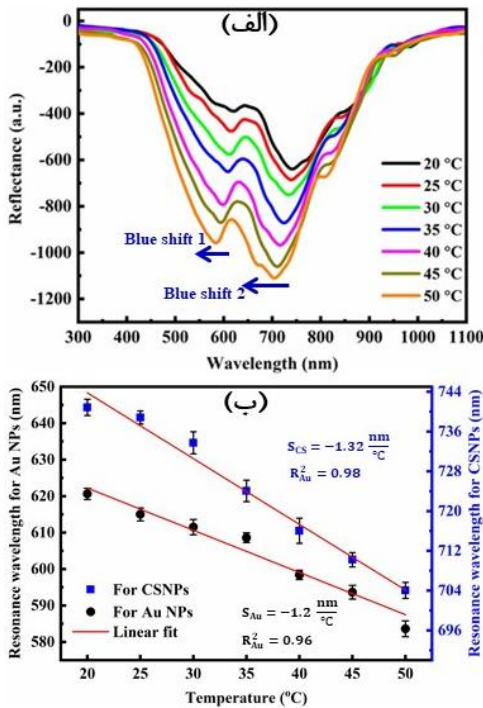
<sup>11</sup> Field emission scanning electron microscopy



شکل ۷: پاسخ طیفی حسگرهای LSPR مبتنی بر نانو ذرات الف) AuNPs، ب) CSNPs و ج) نانوذرات تلفیقی AuNPs و CSNPs در بازه ضریب شکستی ۱/۳۶۰۴ - ۱/۳۳۳۲.

ضریب شکستی RIU تا ۱/۳۳۳۲ تا ۱/۳۶۰۴ ارزیابی شده است. پاسخ طیفی هریک از حسگرها در شکل (۷. الف-ج) نشان داده شده است. نتایج بدست آمده نشان می‌دهد که طول موج تشدید پلاسمون سطحی جایگزیده ( $\lambda_{res}$ ) با افزایش ضریب شکست برای مبدل ۱ به میزان ۴۸/۳۷ nm و مبدل ۲ به میزان ۵۲/۸۶ nm جابجایی داشته است. مطابق شکل (۸. الف و ب) حساسیت ضریب شکستی با استفاده از برازش خطی نمودار طول موج تشدید بر حسب ضریب شکست برای حسگرهای ۱ و ۲ به ترتیب برابر با ۱۸۴۵/۷۱ nm/RIU و ۱۹۸۴/۵۸ nm/RIU بدست می‌آید. نتایج بدست آمده نشان می‌دهد که حساسیت ضریب شکستی حسگر ۲ به میزان ۷/۵٪ افزایش یافته است که بخاطر تاثیر پوسته نقره می‌باشد. با توجه به اینکه تفکیک طول موجی طیف‌سنج مورد استفاده در حدود  $\Delta\lambda \sim 0.34$  nm می‌باشد میزان حد تشخیص حسگری بر اساس نسبت تفکیک طیف‌سنج بر حساسیت S حسگر ( $LOD = \frac{\Delta\lambda}{S}$ ) [۱۳]، مقدار RIU  $10^{-4} \times 1/71$  بدست می‌آید.

در حسگر ۳ بدلیل تثبیت نانو ذرات ترکیبی مطابق شکل (۷. ج) دو طول موج تشدید LSPR بدست می‌آید. بطوریکه با افزایش ضریب شکست بطور همزمان هر دو  $\lambda_{res}$  ناشی از AuNPs و CSNPs قعر ۱ و ۲ طیفی بترتیب از ۶۱۱/۶۲ nm به ۶۵۳/۴۸ nm و از ۷۳۹/۹۴ nm به ۷۸۷/۹۱ nm جابه‌جایی قرمز پیدا می‌کنند. طبق شیب برازش خطی نمودار شکل (۸. ج)، قعرهای طول موج تشدید Au و CS. حساسیت‌های ضریب شکستی بترتیب ۱۵۶۷/۶۷ nm/RIU و ۱۷۸۷/۷۳ nm/RIU را دارا هستند. نتایج بدست آمده نشان می‌دهد که حساسیت ضریب شکستی برای حالت ترکیبی برای هریک از نانو ذرات به نسبت ۰/۹ کاهش یافته است که ناشی از کاهش چگالی سطحی هر یک از نانوذرات در حالت ترکیبی است. پاسخ طیفی دوگانه حسگر توسعه داده شده مبتنی بر نانوذرات ترکیبی می‌تواند کاندیدای بسیار مناسبی برای سنسجش دو پارامتر حسگری باشد. با توجه به اینکه در فرایندهای زیست‌حسگری دما می‌تواند پارامتر مداخله‌گر باشد بنابراین می‌توان با سنسجش همزمان ضریب شکست و دما فرایند جبران‌سازی حسگری انجام شود.

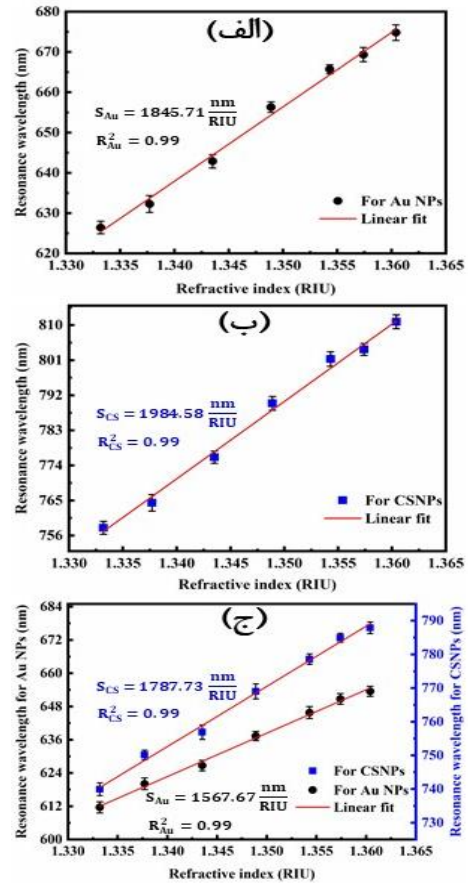


شکل ۹: الف) طیف‌های بازتابی و ب) حسگرعامل‌دار به نانوذرات ترکیبی CSNPs و NPs Au در بازه ۲۰-۵۰ °C.

### ۳-۴ سنجش همزمان ضریب شکست و دما

در زیست حسگرهای فیبرنوری، تغییرات دما می‌تواند بر سیگنال نوری تأثیر گذاشته و موجب خطا در اندازه‌گیری ضریب شکست و یا غلظت شود. برای جبران این اثرات و افزایش دقت حسگر، تشکیل ماتریس مشخصه ضروری است. ماتریس مشخصه به‌عنوان مدل ریاضی، ارتباط بین تغییرات سیگنال نوری، دما و پارامتر ضریب شکست را توصیف می‌کند. با استفاده از این ماتریس، می‌توان اثرات دمایی را از سیگنال حسگر جدا کرده و تنها مقدار واقعی پارامتر هدف را استخراج کرد [۵، ۷].

برای این منظور با توجه به اینکه در ساختار حسگری با نانوذرات ترکیبی با ایجاد دو طیف LSPR و مشخص بودن حساسیت ضریب شکستی و دمایی هر یک از طول موج‌های تشدید می‌توان با استفاده از رابطه‌های (۵-۶) ماتریس مشخصه حسگر را توسعه داد [۵، ۷]. در این روابط  $\Delta\lambda_1$  و  $\Delta\lambda_2$  بترتیب جابه‌جایی طول موج‌های تشدیدی LSPR ۱ و



شکل ۸: نمودار حساسیت ضریب شکستی حسگرهای LSPR مبتنی بر الف) AuNPs، ب) CSNPs و ج) نانوذرات تلفیقی AuNPs و CSNPs برحسب ضرایب شکست گوناگون نمونه.

برای اندازه‌گیری حساسیت دمایی، پاسخ طیفی حسگر LSPR دوگانه در بازه ۲۰-۵۰ °C با قرار دادن حسگر در داخل انکوباتور اندازه‌گیری شده است. پاسخ‌های طیفی حسگر با افزایش دما در شکل ۹ الف) نشان داده شده است. نتایج بدست آمده نشان می‌دهد که با افزایش دما هر یک از طول موج‌های تشدید پلاسمونی به سمت طول موج‌های کوتاه‌تر جابجا می‌شوند. مطابق شکل ۹ ب)، حساسیت دمایی مربوط به AuNPs و CSNPs حسگر دوگانه LSPR، بترتیب برابر با ۱/۲ nm/°C و ۱/۳۲ nm/°C است.

فرآیند مرکاپتوسیلان نانو ذرات بر روی نوک فیبرنوری تثبیت شده است. نانوذرات سنتز شده توسط آنالیزهای UV-Vis و TEM مشخصه‌یابی شده و فرآیند تثبیت توسط آنالیزهای EDS و FESEM ارزیابی شده است. حساسیت ضریب شکستی برای حسگر LSPR مبتنی بر AuNPs و CSNPs بترتیب برابر با ۱۸۴۵/۷۱ nm/RIU و ۱۹۸۴/۵۸ nm/RIU بدست آمده است. در حسگر LSPR مبتنی بر نانوذرات ترکیبی به دلیل تثبیت دو نانو ذره متفاوت، دو طول موج تشدیدی LSPR بدست می‌آید. حساسیت ضریب شکستی برای نانو ذرات طلا و هسته/پوسته در ساختار LSPR دوگانه بترتیب برابر با ۱۵۶۷/۶۷ nm/RIU و ۱۷۸۷/۷۳ بدست می‌آید. کاهش حساسیت نسبت حالت یگانه بدلیل کاهش چگالی سطحی نانو ذرات تثبیت شده بر روی فیبرنوری است. حسگر LSPR دوگانه قابلیت همزمان‌سنجی دو پارامتر را دارد. با توجه به اینکه دما در فرآیند زیست حسگری بعنوان یک عامل مداخله‌گر باید جبران سازی شود حساسیت دمایی حسگر نیز اندازه‌گیری شده است. با استفاده از تشکیل ماتریس مشخصه بصورت همزمان ضریب شکست و دما اندازه‌گیری شده است. بنابراین حسگر فیبرنوری توسعه داده شده می‌تواند بعنوان یک آزمایشگاه بر روی نوک فیبرنوری برای کاربردهای زیست حسگری مورد استفاده قرار گیرد.

## منابع

- [۱] J. He, H. Pan, L. Feng, and W. Feng, "Dual-channel fiber-optic biosensors based on LSPR and SPR for the trace detection of rabies virus," *Applied Physics Letters*, vol. 126, no. 7, 2025.
- [۲] Y. Li et al., "Sandwich method-based sensitivity enhancement of  $\Omega$ -shaped fiber optic LSPR for time-flexible bacterial detection," *Biosensors and Bioelectronics*, vol. 201, p. 113911, 2022.
- [۳] M.-M. Babakhani-Fard, M. I. Zibaii, S. Rostami, and H. Latifi, "Lab on-tip fiber based on dual side hole LSPR for vitamin K1 detection," *Sensors and Actuators Reports*, vol. 10, p. 100342, 2025.

۲.  $\Delta n$  و  $\Delta T$  بترتیب تغییرات ضریب شکست و دما،  $S_{n1}, S_{T1}$  و  $S_{n2}, S_{T2}$  بترتیب حساسیت‌های ضریب شکستی و دمایی برای طول موجهای تشدیدی ۱ و ۲ و  $|S|$  دترمینان ماتریس مشخصه  $S$  است.

$$\begin{pmatrix} \Delta\lambda_1 \\ \Delta\lambda_2 \end{pmatrix} = S \begin{pmatrix} \Delta n \\ \Delta T \end{pmatrix} = \begin{pmatrix} S_{n1} & S_{T1} \\ S_{n2} & S_{T2} \end{pmatrix} \begin{pmatrix} \Delta n \\ \Delta T \end{pmatrix} \quad (5)$$

$$\begin{pmatrix} \Delta n \\ \Delta T \end{pmatrix} = \frac{1}{|S|} \begin{pmatrix} S_{T2} & -S_{T1} \\ -S_{n2} & S_{n1} \end{pmatrix} \begin{pmatrix} \Delta\lambda_1 \\ \Delta\lambda_2 \end{pmatrix} \quad (6)$$

بنابراین ماتریس مشخصه آزمایشگاه بر روی نوک فیبرنوری مبتنی بر ساختار LSPR دوگانه عامل‌دار به AuNPs و CSNPs برای حسگری همزمان ضریب شکست و دما، مطابق رابطه (۷) بدست می‌آید.

$$\begin{pmatrix} \Delta n \\ \Delta T \end{pmatrix} = \frac{1}{75.95} \begin{pmatrix} -1.32 & 1.2 \\ -1787.73 & 1567.67 \end{pmatrix} \begin{pmatrix} \Delta\lambda_1 \\ \Delta\lambda_2 \end{pmatrix} \quad (7)$$

نتایج بدست آمده نشان می‌دهد که ساختار پراب فیبرنوری با ساختار مقعر کاندیدای مناسبی برای افزایش میدان میراشونده در نوک فیبرنوری است که باعث تحریک پذیری بیشتر نانوذرات فلزی برای تشدید پلاسمون سطحی می‌شود. تلفیق نانوذرات ترکیبی با ساختار توسعه یافته قابلیت ساخت زیست حسگرهای فیبرنوری بعنوان آزمایشگاه بر روی نوک فیبرنوری برای پایش همزمان‌سنجی دوکمیت و یا جبران سازی دمائی را دارد.

## ۴- نتیجه‌گیری و بحث

زیست حسگرهای فیبرنوری مبتنی بر حالت LSPR بواسطه مزایای منحصر بفردی نظیر حساسیت و دقت بالا، آشکارسازی سطوح مولکول‌های زیستی بصورت غیرنشان‌دار، پاسخدهی زمانی فوق العاده کوتاه، کوچکی ابعاد و مصون بودن از نویزهای الکترونیکی خارجی، چالش‌ها و ایرادات روش‌های زیست حسگری مرسوم را رفع کرده و کاندیدای بسیار مناسبی برای پایش در لحظه سطوح مؤلفه‌های زیستی هستند. در این مقاله با تغییر ساختار هندسی نوک فیبرنوری با استفاده از خوردگی شیمیایی، میزان میدان میراشونده در نوک فیبرنوری برای تحریک پلاسمون‌های سطحی جایگزیده افزایش داده شده است. برای بررسی میزان حساسیت حسگری سه ساختار مبتنی بر نانو ذرات AuNPs، CSNPs و نانوذرات ترکیبی توسعه داده شده است. نانوذرات بروش کاهش شیمیایی سنتز و با

- [۴] A. Cusano, M. Consales, A. Crescitelli, and A. Ricciardi, *Lab-on-fiber technology*. Springer, 2015.
- [۵] Rostami, M. I. Zibaii, M.-M. Babakhani-Fard, A. Layeghi, and H. Latifi, "Sensitivity enhancement and thermal compensation of LSPR-based optical fibre refractive index sensor using annealing of Au nanoparticles," *Sensors and Actuators A: Physical*, vol. 395, p. 117015, 2025.
- [۶] S. Rostami, M. I. Zibaii, M.-M. Babakhani-Fard, A. Layeghi, and H. Latifi, "Sensitivity enhancement and thermal compensation of LSPR-based optical fibre refractive index sensor using annealing of Au nanoparticles," *Sensors and Actuators A: Physical*, vol. 395, p. 117015, 2025.
- [۷] M. Li et al., "Cascaded  $\Omega$ -shaped fiber-optic-based LSPR coated with hybridized nanolayers for refractive index and temperature simultaneous measurement," *Optics Letters*, vol. 50, no. 6, p. 1803, 2025.
- [۸] R. W. Pryor, *Multiphysics modeling using COMSOL®: a first principles approach*. Jones & Bartlett Publishers, 2009.
- [۹] R. A. Kadhim, L. Yuan, H. Xu, J. Wu, and Z. Wang, "Highly Sensitive D-Shaped Optical Fiber Surface Plasmon Resonance Refractive Index Sensor Based on Ag- $\alpha$ -Fe<sub>2</sub>O<sub>3</sub> Grating," *IEEE Sensors Journal*, vol. 20, no. 17, pp. 9816–9824, 2020.
- [۱۰] J. Turkevich, P. C. Stevenson, and J. Hillier, "A study of the nucleation and growth processes in the synthesis of colloidal gold," *Discussions of the Faraday Society*, vol. 11, p. 55, 1951.
- [۱۱] A. K. Samal, L. Polavarapu, S. Rodal-Cedeira, L. M. Liz-Marzán, J. Pérez-Juste, and I. Pastoriza-Santos, "Size Tunable Au@Ag Core-Shell Nanoparticles: Synthesis and Surface-Enhanced Raman Scattering Properties," *Langmuir*, vol. 29, no. 48, pp. 15076–15082, 2013.
- [۱۲] N. Tran Truc Phuong et al., "Application of hybrid Au@Ag nanostructures in fiber optic biosensor for rapid detection of C-reactive protein," *Optical Materials*, vol. 143, p. 114184, 2023.
- [۱۳] R. Tabassum and B. D. Gupta, "Simultaneous estimation of vitamin K1 and heparin with low limit of detection using cascaded channels fiber optic surface plasmon resonance," *Biosensors and Bioelectronics*, vol. 86, pp. 48–55, Dec. 2016.

## Concave-Tip Lab-on-Fiber Based on Localized Surface Plasmon Resonance for Simultaneous Refractive Index and Temperature Sensing

Mohammad-Mahdi Babakhani-Fard, Mohammad Ismail Zibaii\*, Soroush Rostami.

Laser and Plasma Research Institute, Shahid Beheshti University, Tehran, Iran.

### Article details

Received: 2025/10/25

Accepted: 2025/11/27

Published: 2025/12/02

ISSN: 2588-493x

eISSN:2588-4821

Correspondence email:  
[m\\_zibayi@sbu.ac.ir](mailto:m_zibayi@sbu.ac.ir)



### Abstract

Fiber optic biosensors are highly effective tools for early disease diagnosis due to their exceptional sensitivity and low detection limit of biological samples. Label-free sensors based on refractive index (RI) variation measurements exhibit enhanced sensitivity and selectivity when integrated with localized surface plasmon resonance (LSPR) technology. In this study, a dual LSPR fiber optic sensor based on a concave-tip structure combined with hybrid nanoparticles (NPs) of gold nanoparticles (AuNPs) and gold@silver core-shell NPs (CSNPs) is developed for simultaneous detection of RI and temperature. The RI sensitivity of sensors functionalized with AuNPs and CSNPs was measured at 1845.71 nm/RIU and 1984.58 nm/RIU within the RI range of 1.3332 to 1.3604 RIU, respectively. Also, the refractive index sensitivity of the LSPR mode for gold and core/shell nanoparticles within the proposed transducer functionalized with composite nanoparticles, has been evaluated as 1567.67 nm/RIU and 1787.73 nm/RIU, respectively. The slight reduction in sensitivity compared to single NP configurations is due to a decrease in surface NP density, which is negligible. A critical challenge in fiber optic sensor operation is the influence of temperature fluctuations on measurement accuracy. To address this issue, the temperature sensitivity of the dual LSPR sensor was measured in the range 20–50°C, resulting  $S_{Au} = -1.2$  nm/°C and  $S_{CS} = -1.32$  nm/°C for AuNPs and CSNPs, respectively. To mitigate cross-sensitivity, a sensitivity matrix was employed, enabling accurate simultaneous measurement of RI and temperature. These results demonstrate that the developed lab-on-fiber sensor is a promising candidate for dual-parameter monitoring in label-free fiber optic biosensing applications.

**Keywords:** Lab-on-fiber, label-free, refractive index, temperature, localized surface plasmon resonance (LSPR), core-shell nanoparticle.